

## Resolução da Tarefa 4

Data: 11/06/2022

Discente: Eduardo Eller Behr

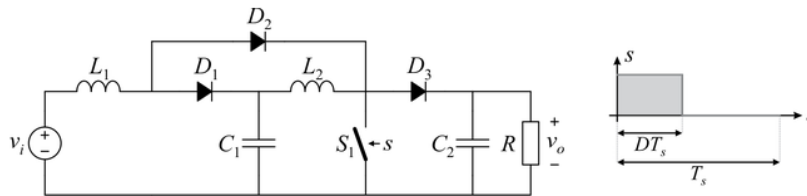
### Tarefa 4

Para o conversor boost quadrático ilustrado abaixo, utilizando a metodologia por espaço de estados, pede-se:

I) A função de transferência que relaciona a tensão de saída com a razão cíclica;

II) A função de transferência que relaciona a tensão de saída com a razão cíclica considerando perdas nos indutores, capacitores, diodos e interruptores.

Valide os modelos por simulações.



```
In [ ]: from matplotlib import pyplot as plt
import control as ctl
import numpy as np
import sympy as sp
```

I) Função de Transferência  $\frac{v_o(s)}{d(s)}$  (sem perdas)

```
In [ ]: iL1, iL2, vC1, vC2 = sp.symbols("i_{L1} i_{L2} v_{C1} v_{C2}")
d, vi, s = sp.symbols("d v_i s")
R, L1, L2, C1, C2 = sp.symbols("R L_1 L_2 C_1 C_2")

U = sp.Matrix([
    [vi]
])

# Considerando que vo = 1*vC2
C = sp.Matrix([[0, 0, 0, 1]])

# display('X=', X);
display('U=', U); display('C=', C)

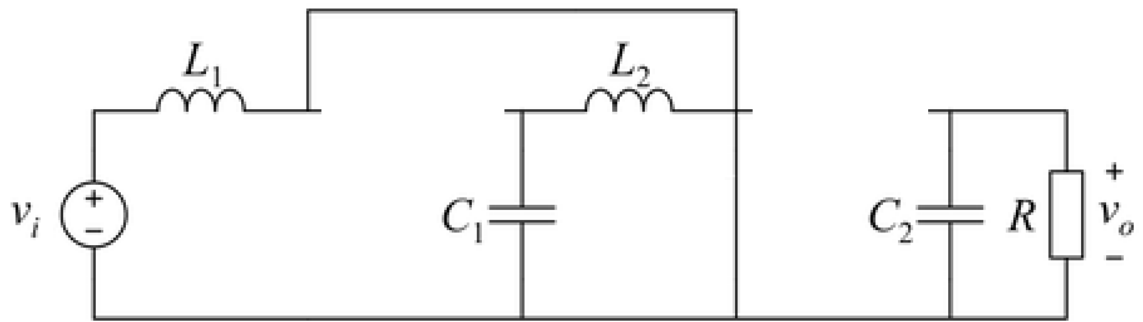
'U='

[ v_i ]

'C='

[ 0  0  0  1 ]
```

a) 1ª etapa de operação



```
In [ ]: A1 = sp.Matrix([
    [0, 0, 0, 0],
    [0, 0, 1/L2, 0],
    [0, -1/C1, 0, 0],
    [0, 0, 0, -1/(R*C2)]
],
# L1 L2 C1 C2
])

B1 = sp.Matrix([
    [1/L1], # iL1
    [0], # iL2
    [0], # vC1
    [0], # vC2
])

display('A1=', A1)
display('B1=', B1)
```

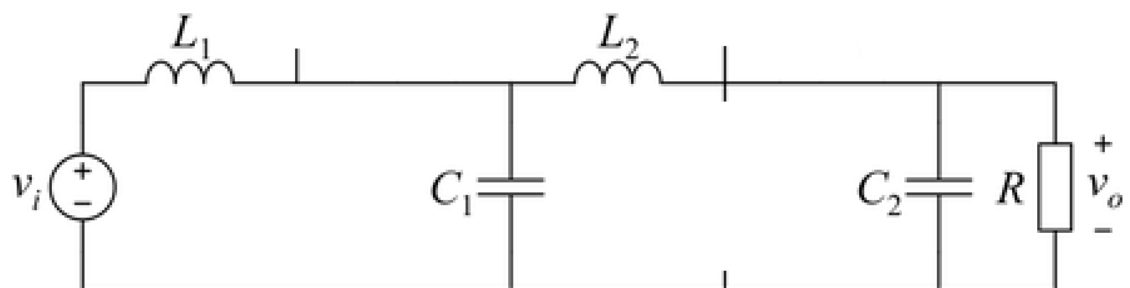
'A1='

$$\begin{bmatrix} 0 & 0 & 0 & 0 \\ 0 & 0 & \frac{1}{L_2} & 0 \\ 0 & -\frac{1}{C_1} & 0 & 0 \\ 0 & 0 & 0 & -\frac{1}{C_2 R} \end{bmatrix}$$

'B1='

$$\begin{bmatrix} \frac{1}{L_1} \\ 0 \\ 0 \\ 0 \end{bmatrix}$$

b) 2ª Etapa de operação



```
In [ ]: A2 = sp.Matrix([
    [0, 0, -1/L1, 0],
    [0, 0, 1/L2, -1/L2],
    [1/C1, -1/C1, 0, 0],
    [0, 1/C2, 0, -1/(R*C2)]], # iL1
    # iL2
    # vC1
    # vC2)

B2 = sp.Matrix([
    [1/L1],
    [0],
    [0],
    [0]], # iL1
    # iL2
    # vC1
    # vC2)

display('A2=', A2)
display('B2=', B2)
```

'A2='

$$\begin{bmatrix} 0 & 0 & -\frac{1}{L_1} & 0 \\ 0 & 0 & \frac{1}{L_2} & -\frac{1}{L_2} \\ \frac{1}{C_1} & -\frac{1}{C_1} & 0 & 0 \\ 0 & \frac{1}{C_2} & 0 & -\frac{1}{C_2 R} \end{bmatrix}$$

'B2='

$$\begin{bmatrix} \frac{1}{L_1} \\ 0 \\ 0 \\ 0 \end{bmatrix}$$

c) Média das duas etapas

O ponto de operação em regime permanente é dado por:

$$\mathbf{X} = -\mathbf{A}^{-1}\mathbf{B}\mathbf{U}$$

$$\mathbf{Y} = (-\mathbf{C}\mathbf{A}^{-1}\mathbf{B} + \mathbf{E})\mathbf{U}$$

A função de transferencia é obtida com:

$$\mathbf{G}(s) = \frac{\hat{\mathbf{y}}(s)}{\hat{\mathbf{d}}(s)} = \mathbf{C}(s\mathbf{I} - \mathbf{A})^{-1}[(\mathbf{A}_1 - \mathbf{A}_2)\mathbf{X} + (\mathbf{B}_1 - \mathbf{B}_2)\mathbf{U}]$$

```
In [ ]: A = d*A1 + (1-d)*A2
B = d*B1 + (1-d)*B2
X = -A**-1*B*U

G = C*((s*sp.eye(4)-A)**-1)*((A1-A2)*X + (B1-B2)*U)
```

```
In [ ]: display('Gvd=', G[0].factor(s))
```

'Gvd='

$$\frac{v_i \left( -d^7 + 7d^6 - 21d^5 + 35d^4 - 35d^3 + 21d^2 - 7d + 1 \right) \left( C_1 L_1 L_2 s^3 - 2Rd^4 + 8Rd^3 - s^2 \left( -C_1 L_1 Rd^2 + 2C_1 L_1 Rd - C_1 L_1 R \right) + s \left( 2L_1 + L_2 d^2 - 2L_2 d + L_2 \right) \right)}{(1-d)(d^2-2d+1)(d^3-3d^2+3d-1)(d^4-4d^3+6d^2-4d+1)(C_1 C_2 L_1 L_2 R s^3 - 4Rd^3 + 6Rd^2 - 4Rd + R + s^2 (C_1 L_1 Rd^2 - 2C_1 L_1 Rd + C_1 L_1 R + C_2 L_1 R + C_2 L_2 Rd^2 - 2C_2 L_2 Rd + C_2 L_2 R) + s (L_1 + L_2 d^2 - 2L_2 d + L_2))}$$

Substituindo os valores numéricos

```
In [ ]: params = {
    L1: 1000e-6,
    L2: 100e-6,
    C1: 2e-6,
    C2: 20e-6,
    R: 50,
    d: 0.55,
    vi: 48
}

Gvd = G.subs(params)

Gvd = Gvd[0].factor(s).simplify()

display('Gvd=', Gvd.evalf(3)); display('X=', X.subs(params).evalf(6))
```

'Gvd='

$$\frac{-5.14 \cdot 10^{-11} s^3 + 5.2 \cdot 10^{-6} s^2 - 0.519 s + 1.05 \cdot 10^3}{9.76 \cdot 10^{-17} s^4 + 9.75 \cdot 10^{-14} s^3 + 5.07 \cdot 10^{-7} s^2 + 0.000498 s + 1.0}$$

'X='

$$\begin{bmatrix} 23.4111 \\ 10.535 \\ 106.667 \\ 237.037 \end{bmatrix}$$

Convertendo para objeto TransferFunction

```
In [ ]: def sympy_rational_to_control_tf(rational):
    numerator, denominator = rational.as_numer_denom()
    num, den = sp.Poly(numerator).all_coeffs(), sp.Poly(denominator).all_coeffs()

    for i, _n in enumerate(num):
        num[i] = float(num[i])

    for i, _d in enumerate(den):
        den[i] = float(den[i])

    return ctl.TransferFunction(num, den)

Gvd_tf = sympy_rational_to_control_tf(Gvd)
Gvd_tf
```

Out[ ]:

$$\frac{-5.138 \times 10^{-11} s^3 + 5.202 \times 10^{-6} s^2 - 0.519 s + 1053}{9.755 \times 10^{-17} s^4 + 9.755 \times 10^{-14} s^3 + 5.075 \times 10^{-7} s^2 + 0.0004976 s + 1}$$

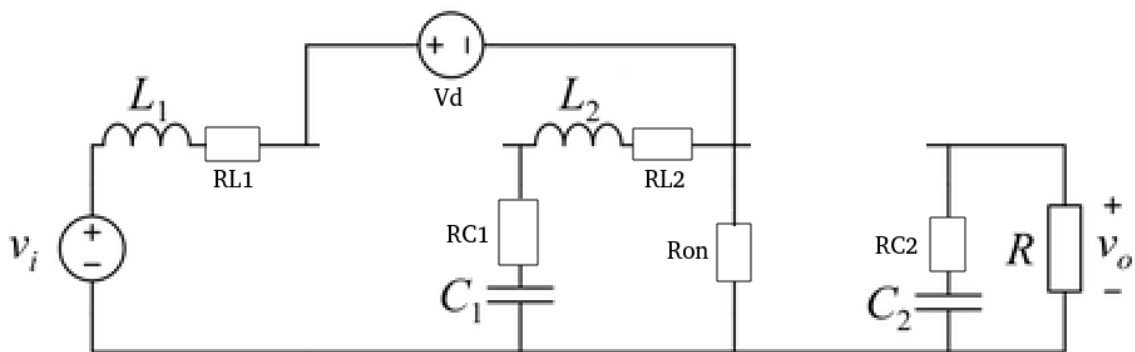
## II) Função de Transferência $\frac{v_o(s)}{d(s)}$ (com perdas)

```
In [ ]: Vd, RL1, RL2, Ron, RC1, RC2 = sp.symbols('V_d R_{L1} R_{L2} R_{on} R_{C1} R_{C2}')
Up = sp.Matrix([
    vi,
    Vd
])
display('Up=', Up)
```

'Up='

$$\begin{bmatrix} v_i \\ V_d \end{bmatrix}$$

a) 1ª Etapa de operação



```
In [ ]: Alp = sp.Matrix([
    [-(RL1+Ron)/L1, 0, 0, 0, 0],
    [-Ron/L2, -(RC1+RL2+Ron)/L2, 1/L2, 0, 0],
    [0, -1/C1, 0, 0, 0],
    [0, 0, 0, 0, 0],
    # L1 L2 C1
])

# entradas: vi e vd
B1p = sp.Matrix([
    [1/L1, -1/L1], # iL1
    [0, 0], # iL2
    [0, 0], # vC1
    [0, 0], # vC2
    # vi vd
])
```

display('Alp=', Alp)

display('B1p=', B1p)

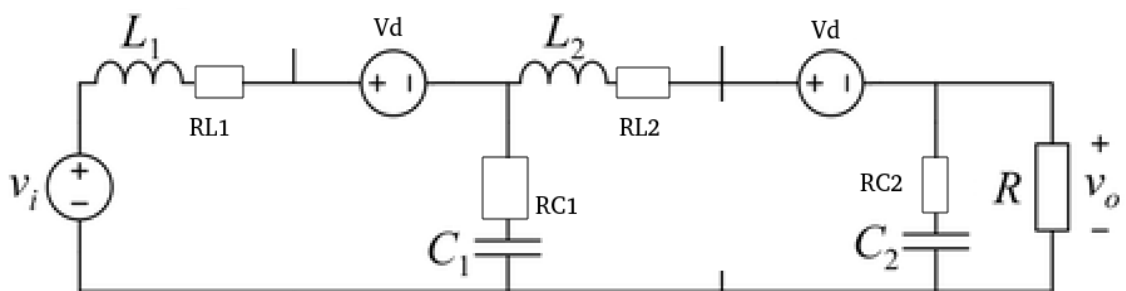
'Alp='

$$\begin{bmatrix} \frac{-R_{L1}-R_{on}}{L_1} & 0 & 0 & 0 \\ -\frac{R_{on}}{L_2} & \frac{-R_{C1}-R_{L2}-R_{on}}{L_2} & \frac{1}{L_2} & 0 \\ 0 & -\frac{1}{C_1} & 0 & 0 \\ 0 & 0 & 0 & -\frac{1}{C_2(R+R_{C2})} \end{bmatrix}$$

'B1p='

$$\begin{bmatrix} \frac{1}{L_1} & -\frac{1}{L_1} \\ 0 & 0 \\ 0 & 0 \\ 0 & 0 \end{bmatrix}$$

b) 2ª Etapa de operação



```
In [ ]: # vo=(vC2+RC2*iL2)/(1-RC2/R)
# iC2 = (iL2*(R - 2*RC2) - vC2)/(R - RC2)
# dvC2/dt = (iL2*(R - 2*RC2)/C2 - vC2/C2)/(R - RC2)
# dvC2/dt = iL2*(R - 2*RC2)/(C2*(R - RC2)) - vC2/(C2*(R - RC2))

A2p = sp.Matrix([
    [-(RL1+RC1)/L1,          RC1/L1,          0,          0],
    [RC1/L2,                -(RC1+RL2)/L2,    1/L2,      0],
    [1/C1,                  -1/C1,             0,          0],
    [0,                      (R - 2*RC2)/(C2*(R - RC2)), 0,          0],
])

#      L1                      L2                      C1

B2p = sp.Matrix([
    [1/L1, -1/L1], # iL1
    [0, -1/L2],   # iL2
    [0, 0],        # vC1
    [0, 0],        # vC2
])

display('A2p=', A2p)
display('B2p=', B2p)
```

'A2p='

$$\begin{bmatrix} \frac{-R_{C1}-R_{L1}}{L_1} & \frac{R_{C1}}{L_1} & -\frac{1}{L_1} & 0 \\ \frac{R_{C1}}{L_2} & \frac{-R_{C1}-R_{L2}}{L_2} & \frac{1}{L_2} & -\frac{1}{L_2} \\ \frac{1}{C_1} & -\frac{1}{C_1} & 0 & 0 \\ 0 & \frac{R-2R_{C2}}{C_2(R-R_{C2})} & 0 & -\frac{1}{C_2(R-R_{C2})} \end{bmatrix}$$

'B2p='

$$\begin{bmatrix} \frac{1}{L_1} & -\frac{1}{L_1} \\ 0 & -\frac{1}{L_2} \\ 0 & 0 \\ 0 & 0 \end{bmatrix}$$

Definindo valores das variáveis de perdas

```
In [ ]: params.update({
        RL1: 1,
        RL2: 0.1,
        RC1: 0.01,
        RC2: 0.1,
        Vd: 1,
        Ron: 0.05
    });
```

c) Média das duas etapas

```
In [ ]: Ap = (d*A1p + (1-d)*A2p).subs(params)
Bp = (d*B1p + (1-d)*B2p).subs(params)
Xp = -Ap**-1*Bp*Up.subs(params)
display('Xp=', Xp.evalf(6))

# Obs: vo=(vC2 + RC2*iL2)/(1-RC2/R)
Cp = sp.Matrix([
    [0, RC2/(1-RC2/R), 0, 1/(1-RC2/R)]
]).subs(params)

Gvdp = (Cp*((s*sp.eye(4)-Ap)**-1)*((A1p-A2p).subs(params)*Xp + (B1p-B2p).subs(params))).subs(params)
Gvdp = Gvdp.factor(s).simplify()
display('Gvdp=', Gvdp.evalf(3))

Gvdp_tf = sympy_rational_to_control_tf(Gvdp)

'Xp='

$$\begin{bmatrix} 15.0244 \\ 6.76097 \\ 70.0562 \\ 151.847 \end{bmatrix}$$

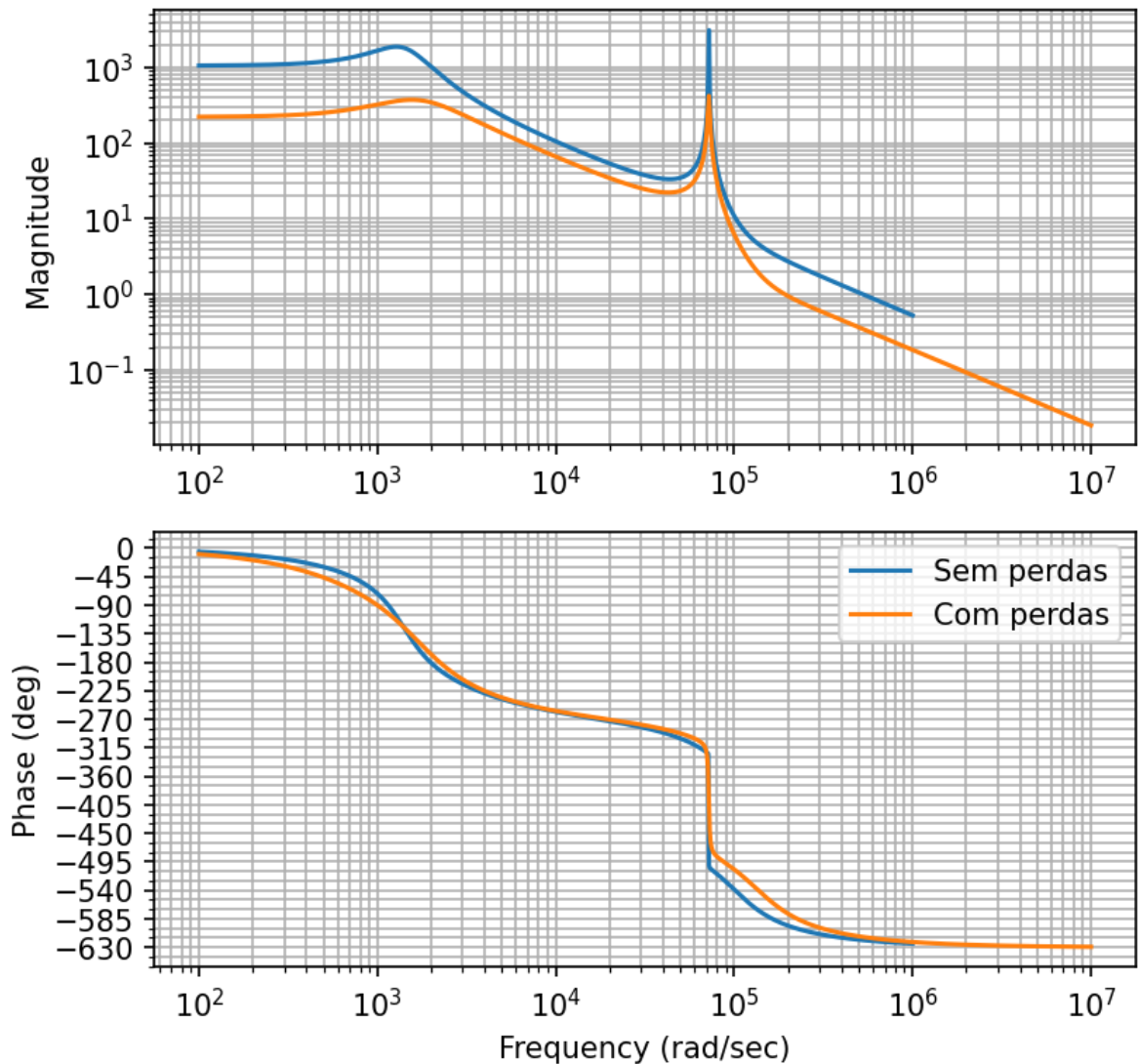
'Gvdp='

$$\frac{-7.65 \cdot 10^{-28} s^7 + 1.06 \cdot 10^{-22} s^6 - 1.75 \cdot 10^{-17} s^5 + 5.22 \cdot 10^{-13} s^4 - 7.1 \cdot 10^{-8} s^3 - 7.0 \cdot 10^{-3} s^2 + 221.0}{(6.42 \cdot 10^{-17} s^4 + 2.19 \cdot 10^{-13} s^3 + 3.34 \cdot 10^{-7} s^2 + 0.000677 s + 1.0)}$$

```

Comparação entre modelos com e sem perdas

```
In [ ]: plt.figure(dpi=150, figsize=(6,6))
        ctl.bode(Gvd_tf);
        ctl.bode(Gvdp_tf);
        plt.legend(["Sem perdas", "Com perdas"]);
```



```
In [ ]: plt.figure(dpi=150)

t=np.linspace(0,10e-3, 1000)

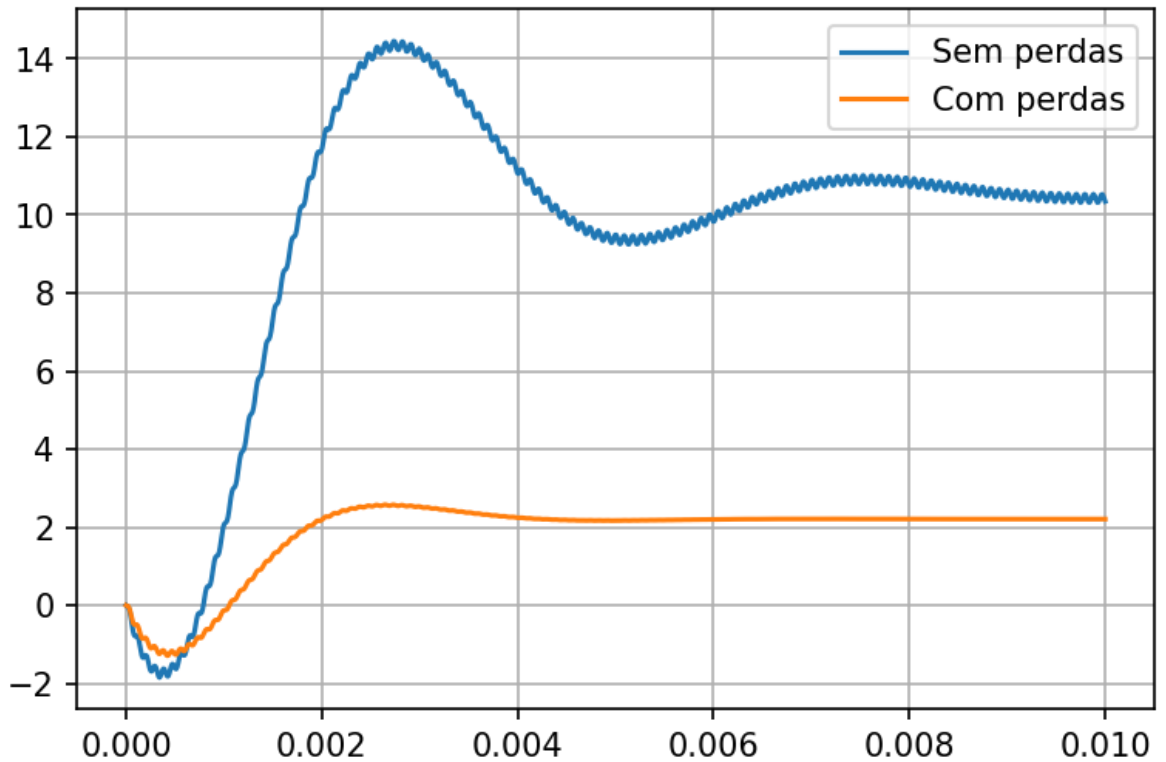
Vi = 48
D = 0.55

_, x = ctl.step_response(Gvd_tf,T=t, X0=0);
_, xp = ctl.step_response(Gvdp_tf,T=t, X0=0);
plt.plot(t,x/100); plt.grid(True);
plt.plot(t,xp/100); plt.grid(True);
plt.title("Degrau de 0.55 para 0.56 na razão cíclica");
plt.legend(["Sem perdas", "Com perdas"]);
```

```
/home/eduardo/.local/lib/python3.10/site-packages/scipy/sparse/linalg/_matf
uncs.py:708: LinAlgWarning: Ill-conditioned matrix (rcond=6.09441e-21): res
ult may not be accurate.
    return solve(Q, P)
/home/eduardo/.local/lib/python3.10/site-packages/scipy/sparse/linalg/_matf
uncs.py:708: LinAlgWarning: Ill-conditioned matrix (rcond=1.78027e-49): res
ult may not be accurate.
    return solve(Q, P)
```



### Degrau de 0.55 para 0.56 na razão cíclica

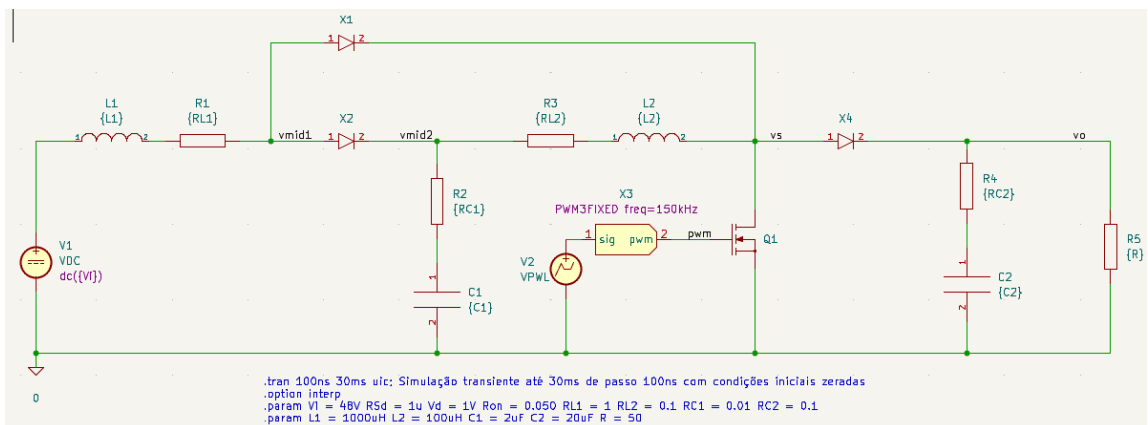


### III) Simulações para validação

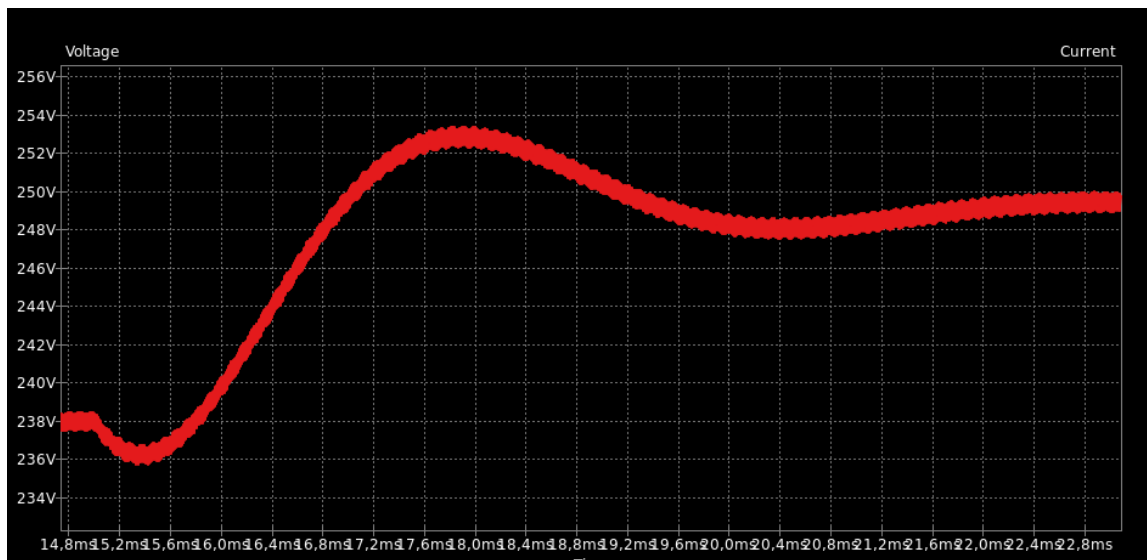
Para fins de comparação, foram simulados os seguintes modelos em Ngspice com captura de esquemático e geração de gráficos do KiCad:

1. Circuito comutado (sem perdas)
2. Circuito comutado (com perdas)

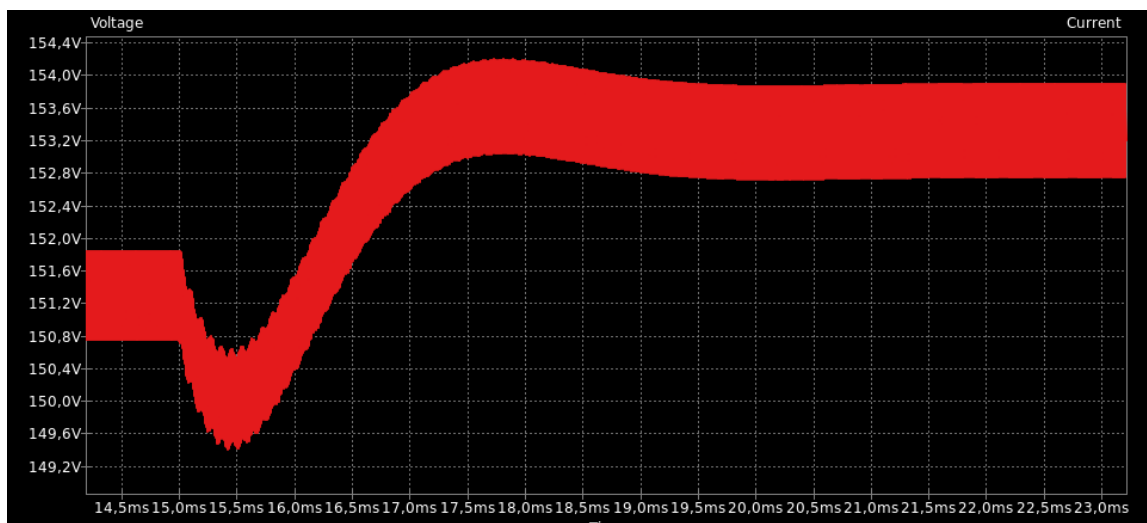
Abaixo está ilustrado o modelo comutado:



A figura abaixo ilustra o resultado do degrau de  $d = 0.55$  para  $d = 0.56$  aos  $15ms$  da análise transiente para o modelo sem perdas.



Ao considerar as perdas, a resposta ao degrau pode ser visualizada abaixo



## Conclusão

A simulação demonstra que a mesma variação da tensão de saída  $v_o$  a partir do ponto de operação é obtida pelas funções de transferências encontradas:

- Para o caso sem perdas, o ganho estático de  $d$  para  $v_o$  é em torno de 1000 (aumento de 0.01 da razão cíclica causa um aumento de 10V na saída)
- Já para o caso com perdas, o ganho estático ficou próximo de 200 (aumento de 0.01 da razão cíclica causa um aumento de 2V na saída)